

Introducción a la Física Nuclear 2024

Rodolfo M. Id Betan (Rolo)

idbetan@ifir-conicet.gov.ar

Edificio Ifir, Of. 235 (Esmeralda y Ocampo)

Tel. 4853200 Int. 486

Campo Medio

Contenido:

- Campo medio y fuerza residual
- Potencial de Hartree-Fock
- Separabilidad de la función de onda
- Oscilador armónico; Woods-Saxon
- Interacción espín-momento orbital
- Núcleos mágicos

Lecturas sugeridas para Campo Medio:

- Cap. 3 libro J. **Suhonen**. From nucleons to nucleus. Springer-Verlag – Berlin. 2007
- Cap. 7 libro S. S. M. **Wong**. Introductory Nuclear Physics. Willey. 2004

Modelo de capas analítico

Aproximación de campo medio

Hamiltoniano de muchos cuerpos

$$\begin{aligned} H &= T + V \\ &= \sum_{i=1}^A \left[-\frac{\hbar^2}{2m_i} \right] \nabla_{\mathbf{r}_i}^2 + \sum_{i < j=1}^A v(\mathbf{r}_i, \mathbf{r}_j) \end{aligned}$$

Partículas independientes

$$H = \sum_{i=1}^A \left[-\frac{\hbar^2}{2m_i} \right] \nabla_{\mathbf{r}_i}^2 + \sum_{i=1}^A v(\mathbf{r}_i)$$

H_0

Fuerza residual

$$\sum_{i < j=1}^A v(\mathbf{r}_i, \mathbf{r}_j) - \sum_{i=1}^A v(\mathbf{r}_i)$$

V_{res}

Hamiltoniano de muchos cuerpos

Modelo sin interacción

Hamiltoniano de muchos cuerpos independientes H_0

Hamiltoniano de muchos cuerpos

Modelo con interacción

$$H = H_0 + V_{res}$$

Ecuación de Schroedinger sin spin-orbit

$$h(\mathbf{r}) = \frac{1}{2m} \mathbf{p}^2 + v(r) \quad \mathbf{p}^2 = -\hbar^2 \nabla_{\mathbf{r}}^2$$

$$h(\mathbf{r}) = -\frac{\hbar^2}{2m} \left[\frac{1}{r^2} \frac{\partial}{\partial r} \left(r^2 \frac{\partial}{\partial r} \right) - \frac{1}{r^2} \bar{l}^2 \right] + v(r)$$

Momento angular orbital

Aquí definido adimensional!!

$$v(r) = v_{nuclear}(r) + v_{coul}(r)$$

$$v_{coul}(r) = \frac{Ze^2}{4\pi\epsilon_0} \begin{cases} \frac{1}{2R} \left(3 - \frac{r^2}{R^2} \right) & r \leq R \\ \frac{1}{r} & r > R \end{cases}$$

Hacer las cuentas...

$$\bar{l}^2 = - \left[\frac{1}{\sin\theta} \frac{\partial}{\partial \theta} \left(\sin\theta \frac{\partial}{\partial \theta} \right) + \frac{1}{\sin^2\theta} \frac{\partial^2}{\partial \phi^2} \right]$$

Notación espectroscópica

$$\psi_{nsm_s l m_l}(r, \theta, \phi) = \frac{1}{r} R_{nl}(r) \chi_{sm_s} Y_{lm_l}(\theta, \phi)$$

$l = 0, 1, 2, 3, 4, 5, \dots$
s, p, d, f, g, h, ...

$$\frac{\hbar^2}{2m} \frac{d^2 R_{nl}(r)}{dr^2} + \left[\epsilon_{nl} - v(r) - \frac{\hbar^2}{2m} \frac{l(l+1)}{r^2} \right] R_{nl}(r) = 0$$

Funciones de onda para potencial sin spin-orbit

$$\psi_{nsm_slm_l}(r, \theta, \phi) = \frac{1}{r} R_{nl}(r) \chi_{sm_s} Y_{lm_l}(\theta, \phi)$$

$$h(r) = -\frac{\hbar^2}{2m} \left[\frac{1}{r^2} \frac{\partial}{\partial r} \left(r^2 \frac{\partial}{\partial r} \right) - \frac{1}{r^2} \bar{l}^2 \right] + v(r)$$

$$\frac{\hbar^2}{2m} \frac{d^2 R_{nl}(r)}{dr^2} + \left[\varepsilon_{nl} - v(r) - \frac{\hbar^2}{2m} \frac{l(l+1)}{r^2} \right] R_{nl}(r) = 0$$

Hacer las cuentas...

En paralelo hacer las cuentas con spin-orbit...

Solución analítica :

- W.S. con $l=0$
- H.O.
- Cosh

Funciones de onda para potencial sin spin-orbit

$$\psi_{nsm_slm_l}(r, \theta, \phi) = \frac{1}{r} R_{nl}(r) \chi_{sm_s} Y_{lm_l}(\theta, \phi)$$

Solución numérica

$$\frac{\hbar^2}{2m} \frac{d^2 R_{nl}(r)}{dr^2} + \left[\varepsilon_{nl} - v(r) - \frac{\hbar^2}{2m} \frac{l(l+1)}{r^2} \right] R_{nl}(r) = 0$$

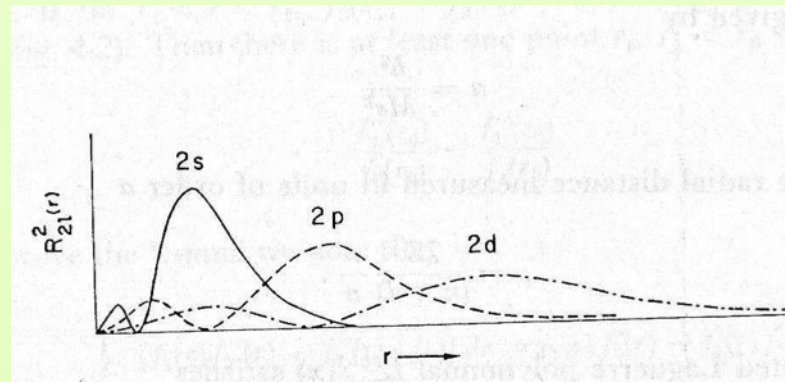
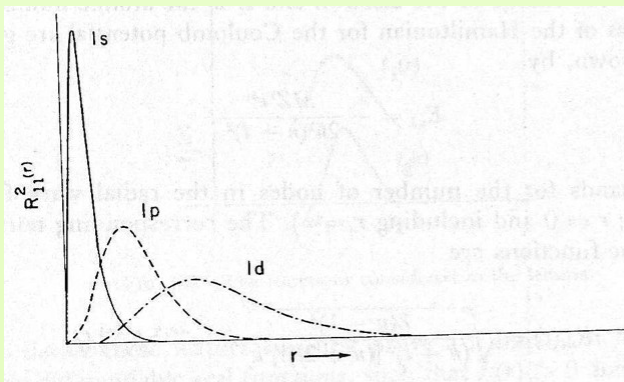
$l = 0, 1, 2, 3, 4, 5, \dots$
s, p, d, f, g, h, ...

0s, 0p, 0d, ..., 1s, 1p, 1d, ...

Convención $\rightarrow n_{inicial} = 1$

1s, 1p, 1d, ..., 2s, 2p, 2d, ...

Ejemplos



Construcción de campo medio autoconsistente: Hartree-Fock

(Primer acercamiento)

Función de onda de A cuerpos

$$\Psi(1, 2, \dots, A) = \mathcal{A}\psi_{\alpha_1}(r_1)\psi_{\alpha_2}(r_2)\cdots\psi_{\alpha_A}(r_A)$$

Determinante de Slater

Principio variacional

$$\delta\langle\Psi|H|\Psi\rangle = \langle\delta\Psi|H|\Psi\rangle = 0$$

Hamiltoniano de A cuerpos

$$H = \sum_{i=1}^A \left[-\frac{\hbar^2}{2m_i} \right] \nabla_{\mathbf{r}_i}^2 + \frac{1}{2} \sum_{i<j=1}^A v(\mathbf{r}_i, \mathbf{r}_j)$$

Hamiltoniano de un cuerpo

$$-\frac{\hbar^2}{2m} \nabla^2 \psi_{\alpha_i}(\mathbf{r}) + \sum_{j=1}^A \int d\mathbf{r}' \psi_{\alpha_j}^*(\mathbf{r}') v(\mathbf{r}, \mathbf{r}') \psi_{\alpha_j}(\mathbf{r}') \psi_{\alpha_i}(\mathbf{r})$$

Lo vamos a demostrar cuando hagamos segunda cuantización

$$-\sum_{j=1}^A \int d\mathbf{r}' \psi_{\alpha_j}^*(\mathbf{r}') v(\mathbf{r}, \mathbf{r}') \psi_{\alpha_j}(\mathbf{r}) \psi_{\alpha_i}(\mathbf{r}') = \varepsilon_{\alpha_i} \psi_{\alpha_i}(\mathbf{r})$$

Ecuación de Hartree-Fock

$$-\frac{\hbar^2}{2m} \nabla^2 \psi_{\alpha_i}(\mathbf{r}) + \sum_{j=1}^A \int d\mathbf{r}' \psi_{\alpha_j}^*(\mathbf{r}') v(\mathbf{r}, \mathbf{r}') \psi_{\alpha_j}(\mathbf{r}') \psi_{\alpha_i}(\mathbf{r})$$

Hartree

$$-\sum_{j=1}^A \int d\mathbf{r}' \psi_{\alpha_j}^*(\mathbf{r}') v(\mathbf{r}, \mathbf{r}') \psi_{\alpha_j}(\mathbf{r}) \psi_{\alpha_i}(\mathbf{r}') = \varepsilon_{\alpha_i} \psi_{\alpha_i}(\mathbf{r})$$

Fock

$$U(\mathbf{r}, \mathbf{r}') = \delta(\mathbf{r} - \mathbf{r}') \sum_{j=1}^A \int d\mathbf{r}'' v(\mathbf{r}, \mathbf{r}'') \psi_{\alpha_j}^*(\mathbf{r}'') \psi_{\alpha_j}(\mathbf{r}'') - \sum_{j=1}^A v(\mathbf{r}, \mathbf{r}') \psi_{\alpha_j}^*(\mathbf{r}') \psi_{\alpha_j}(\mathbf{r}')$$

$$-\frac{\hbar^2}{2m} \nabla_r^2 \psi_{\alpha_i}(\mathbf{r}) + \int d\mathbf{r}' U(\mathbf{r}, \mathbf{r}') \psi_{\alpha_i}(\mathbf{r}') = \varepsilon_{\alpha_i} \psi_{\alpha_i}(\mathbf{r})$$

**Ecuación de
Schroedinger
no local**

$$h(\mathbf{r})\psi(\mathbf{r}) = \varepsilon\psi(\mathbf{r})$$

Oscilador armónico

Oscilador armónico

Tres dimensiones

$$h(\mathbf{r}) \varphi(\mathbf{r}) = \varepsilon \varphi(\mathbf{r})$$

Ecuación radial

$$h(r) R_{nl}(r) = \varepsilon_{nl} R_{nl}(r)$$

$$h(\mathbf{r}) = -\frac{\hbar^2}{2m} \nabla^2 + V(r)$$

$$h(r) = -\frac{\hbar^2}{2m} \left[\nabla_r^2 - \frac{l(l+1)}{r^2} \right] + \frac{1}{2} m \omega^2 r^2$$

Potencial

$$V(r) = \frac{1}{2} m \omega^2 r^2$$

$$R_{nl}(r) = \sqrt{\frac{2n!}{b^3 \Gamma(n+l+\frac{3}{2})}} \left(\frac{r}{b}\right)^l e^{-\frac{r^2}{2b^2}} L_n^{l+\frac{1}{2}}(r^2/b^2)$$

Autofunciones

$$\varphi_{nlm}(\mathbf{r}) = R_{nl}(r) Y_{lm}(\theta, \phi)$$

$$\int_0^\infty r^2 dr R_{nl}(r) R_{n'l}(r) = \delta_{nn'}$$

Frecuencia

$$\hbar \omega = \frac{41}{A^{1/3}} \text{MeV}$$

Ancho

$$b = \sqrt{\frac{\hbar}{m\omega}}$$

Potencial

$$\rightarrow \frac{1}{2} m \omega^2 r^2 = \frac{1}{2} \hbar \omega \left(\frac{r}{b}\right)^2$$

Oscilador armónico: autovalores

Autovalores

$$\varepsilon_N = \left(N + \frac{3}{2}\right) \hbar\omega \quad N = 0, 1, 2, \dots$$

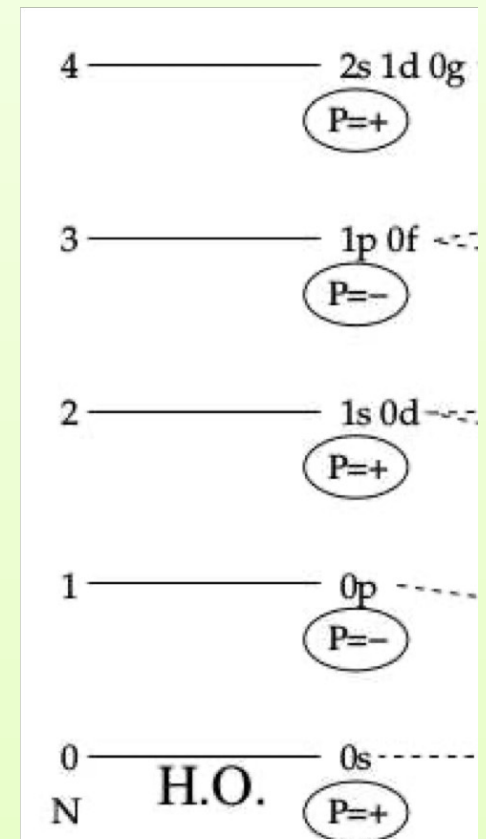
$$\varepsilon_{nl} = \left(2n + l + \frac{3}{2}\right) \hbar\omega \quad \begin{array}{l} l \text{ permitidos} \\ l = N, N - 2, \dots, 1, \text{ or } 0 \end{array}$$

Máximo estados en cada capa N

$$D_N = 2 \sum_{\text{allow } l} (2l + 1) = 2 \sum_{k=1}^{N+1} k = (N + 1)(N + 2)$$

Máximo estados hasta la capa N_{max}

$$D_{max} = \sum_{N=0}^{N_{max}} D_N = \frac{1}{3} (N_{max} + 1)(N_{max} + 2)(N_{max} + 3) \quad (\text{Acumulados})$$



Credit: Fig. 3.5 of Ref. [22]

Oscilador armónico: números mágicos

$$h(r) = -\frac{\hbar^2}{2m} \left[\nabla_r^2 - \frac{l(l+1)}{r^2} \right] + \frac{1}{2} m \omega^2 r^2 \quad \hbar \omega = \frac{41}{A^{1/3}}$$

$$h(r) R_{nl}(r) = \varepsilon_{nl} R_{nl}(r)$$

$$\varepsilon_N = \left(N + \frac{3}{2} \right) \hbar \omega$$

$$N = 2n + l$$

$$N = 0, 1, 2, \dots$$

$$D_{max} = \sum_{N=0}^{N_{max}} D_N = 2 \sum_{N=0}^{N_{max}} \sum_{l=N, N-2, \dots, 1 \text{ or } 0} (2l+1)$$

N_{max}	0	1	2	3	4	5	6	...
D_{max}	2	8	20	40	70	112	168	...

$$D_{max} = \sum_{N=0}^{N_{max}} D_N = \frac{1}{3} (N_{max} + 1)(N_{max} + 2)(N_{max} + 3) \quad (\text{Acumulados})$$

Oscilador armónico: números mágicos

$$h(r) = -\frac{\hbar^2}{2m} \left[\nabla_r^2 - \frac{l(l+1)}{r^2} \right] + \frac{1}{2} m \omega^2 r^2$$

$$h(r) R_{nl}(r) = \varepsilon_{nl} R_{nl}(r) \quad \hbar \omega = \frac{41}{A^{1/3}}$$

$$\varepsilon_N = \left(N + \frac{3}{2} \right) \hbar \omega$$

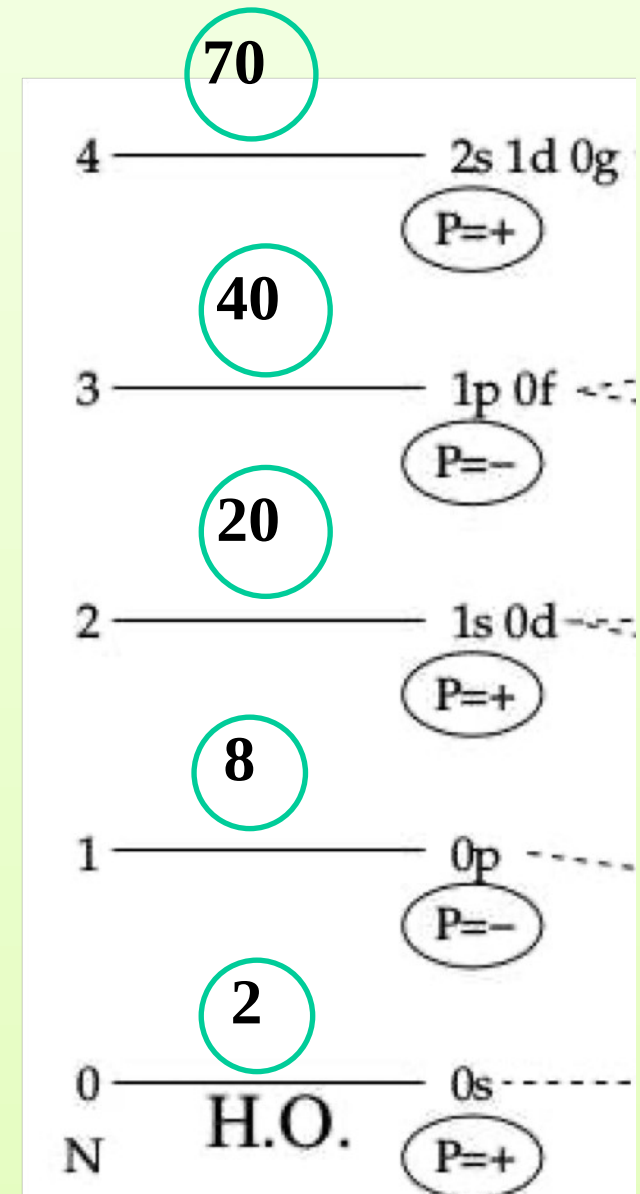
$$N = 0, 1, 2, \dots$$

$$N = 2n + l$$

$$\varepsilon_{nl} = \left(2n + l + \frac{3}{2} \right) \hbar \omega$$

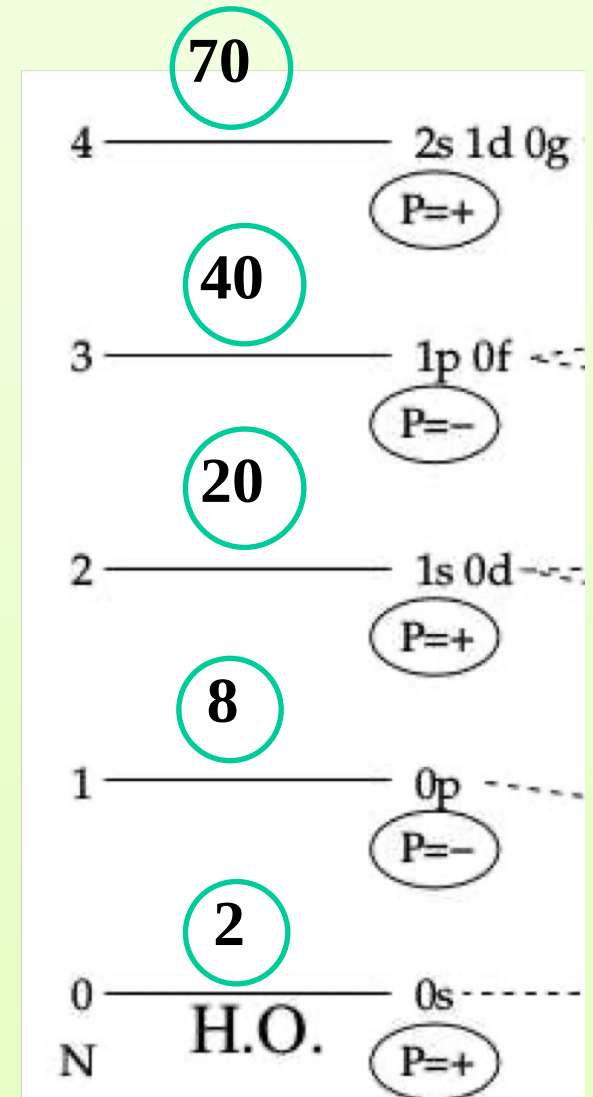
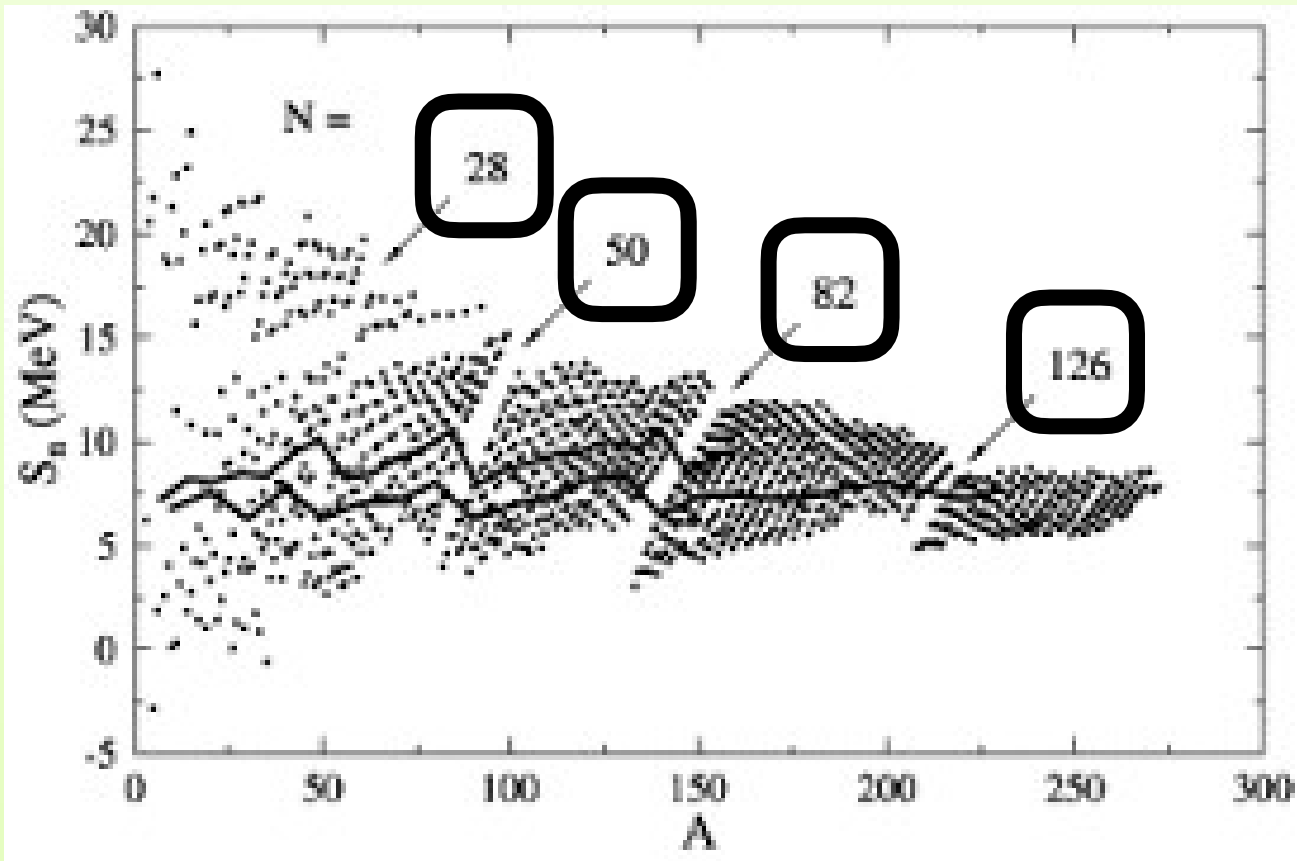
$$n = 0, 1, 2, \dots$$

$$l = 0, 1, 2, \dots$$



Oscilador armónico: números mágicos

$$h(r) = -\frac{\hbar^2}{2m} \left[\nabla_r^2 - \frac{l(l+1)}{r^2} \right] + \frac{1}{2} m \omega^2 r^2$$



Woods-Saxon

Hamiltoniano de partícula individual: Pozo finito

$$h(\mathbf{r}) = \left[-\frac{\hbar^2}{2m} \right] \nabla_{\mathbf{r}}^2 + v(\mathbf{r})$$

Woods-Saxon

$$\frac{\hbar^2}{2m} \frac{d^2}{dr^2} u_{nl}(r) + \left[\varepsilon_{nl} - v_{WS}(r) - \frac{\hbar^2}{2m} \frac{l(l+1)}{r^2} \right] u_{nl}(r) = 0$$

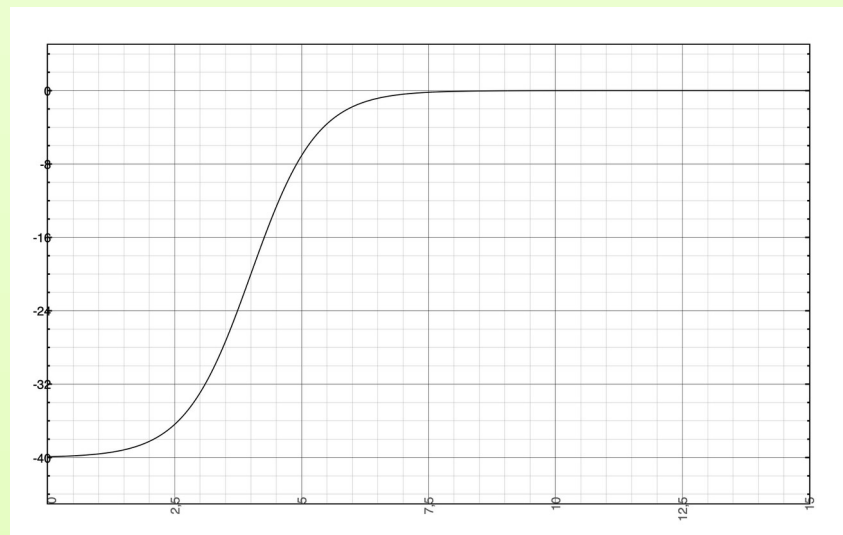
Sobre los parámetros del WS:

$$v_{WS}(r) = \frac{-V_0}{1 + e^{\frac{r-R}{a}}}$$

$$R = r_0 A^{1/3}$$

(+): protón, (-): neutrón

$$V_0 = \left(51 \pm 33 \frac{N-Z}{A} \right) \text{MeV}$$



Valores para $r=R, R+a$

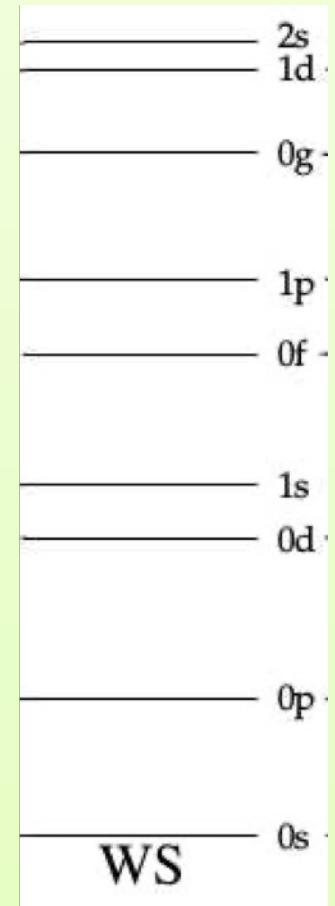
Espectro de energía del potencial de Woods-Saxon

Woods-Saxon

$$\frac{\hbar^2}{2m} \frac{d^2}{dr^2} u_{nl}(r) + \left[\varepsilon_{nl} - v_{WS}(r) - \frac{\hbar^2}{2m} \frac{l(l+1)}{r^2} \right] u_{nl}(r) = 0$$

Números mágicos WS: 2, 8, 20, 40, 58

Números experimental: 2, 8, 20, 28, 50, 86



Comparación pozos Infinito y finito: forma

Oscilador armónico

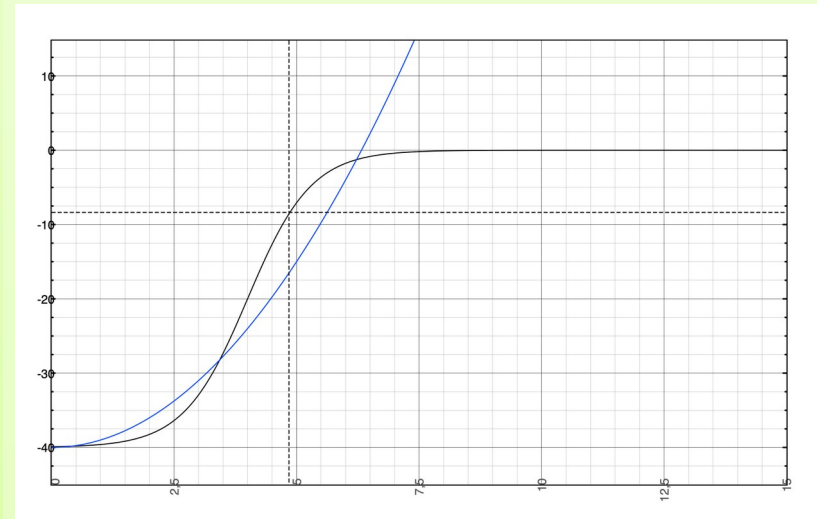
$$\frac{\hbar^2}{2m} \frac{d^2}{dr^2} u_N(r) + \left[\epsilon_N - v_{HO}(r) - \frac{\hbar^2}{2m} \frac{l(l+1)}{r^2} \right] u_N(r) = 0$$

Woods-Saxon

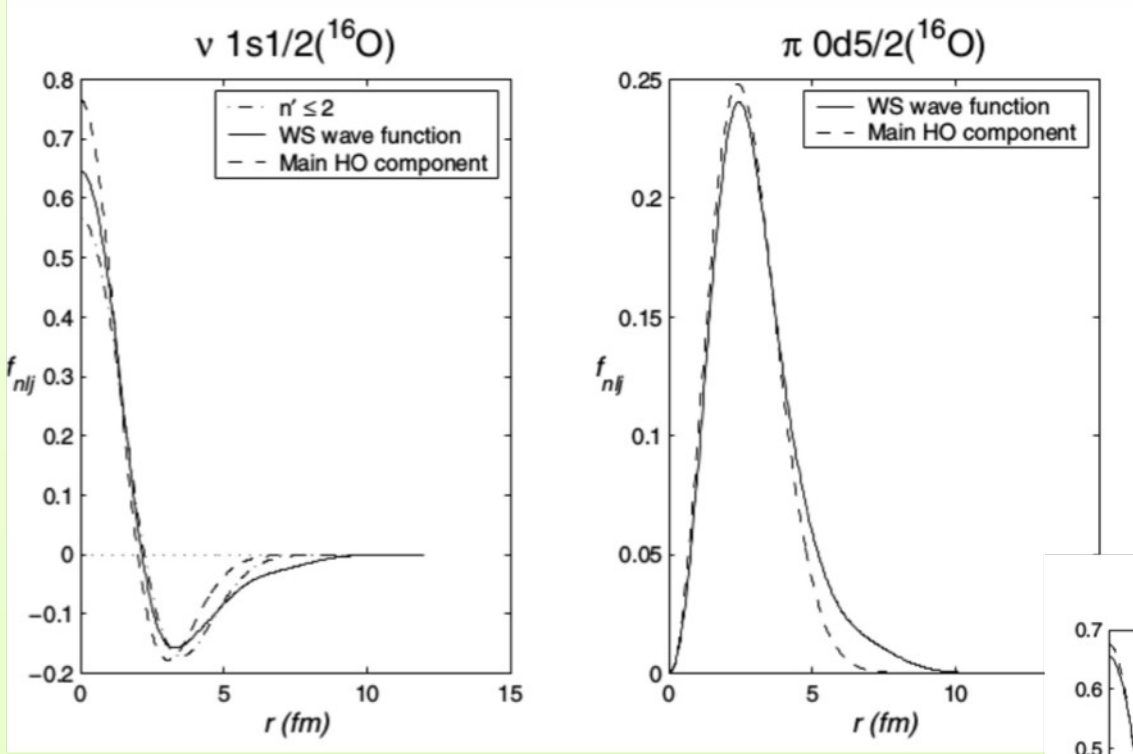
$$\frac{\hbar^2}{2m} \frac{d^2}{dr^2} u_{nl}(r) + \left[\epsilon_{nl} - v_{WS}(r) - \frac{\hbar^2}{2m} \frac{l(l+1)}{r^2} \right] u_{nl}(r) = 0$$

$$v_{HO}(r) = \frac{1}{2} m \omega^2 r^2 \quad \hbar \omega = \frac{41}{A^{1/3}}$$

$$v_{HO}(r) = \frac{1}{2} m \omega^2 r^2 = \frac{1}{2} m \frac{(\omega \hbar)^2}{\hbar^2} r^2 = \frac{1}{2} \frac{m c^2}{(\hbar c)^2} (\omega \hbar)^2 r^2$$

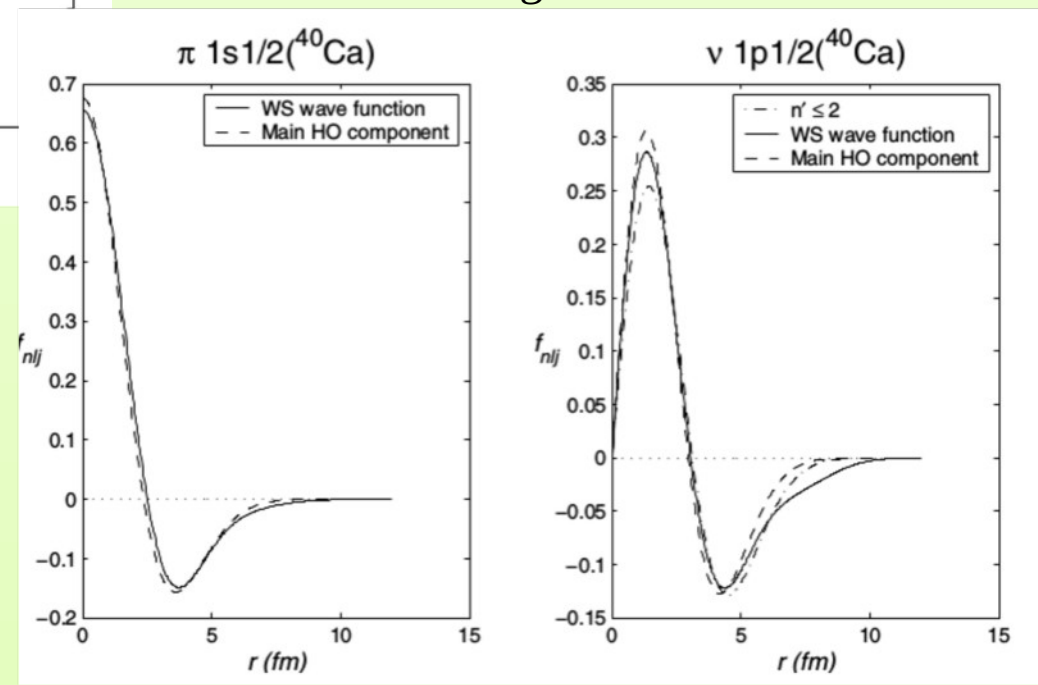


Comparación pozos infinito y finito: funciones de onda



Crédito: Fig. 3.4 libro Suhonen

Crédito: Fig. 3.4 libro Suhonen



Comparación pozos Infinito y finito: espectro

$$h(\mathbf{r}) = \left[-\frac{\hbar^2}{2m} \right] \nabla_{\mathbf{r}}^2 + v(\mathbf{r})$$

Oscilador armónico

$$\frac{\hbar^2}{2m} \frac{d^2}{dr^2} u_N(r) + \left[\varepsilon_N - v_{HO}(r) - \frac{\hbar^2}{2m} \frac{l(l+1)}{r^2} \right] u_N(r) = 0$$

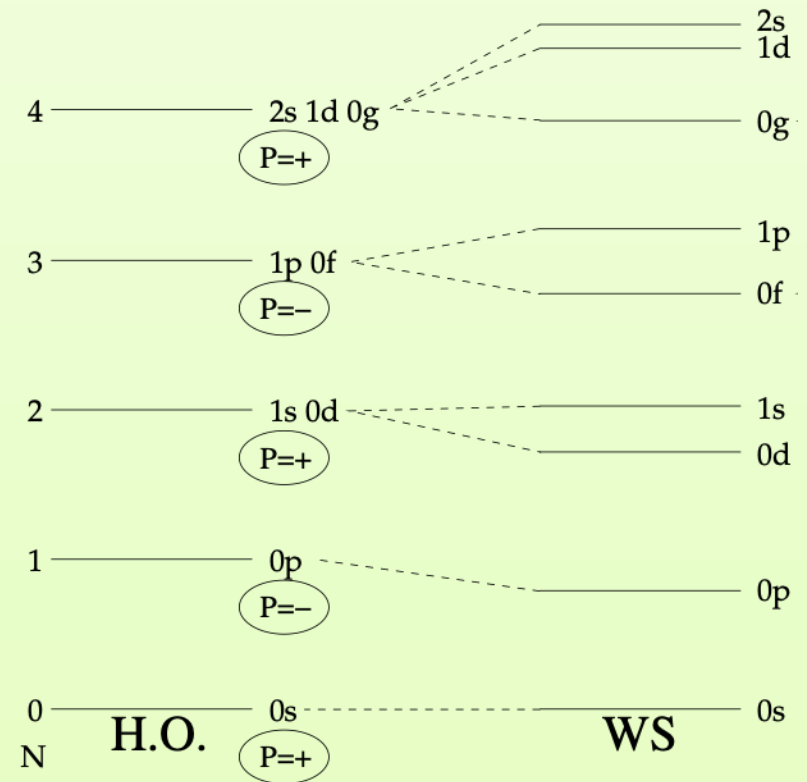
Woods-Saxon

$$\frac{\hbar^2}{2m} \frac{d^2}{dr^2} u_{nl}(r) + \left[\varepsilon_{nl} - v_{WS}(r) - \frac{\hbar^2}{2m} \frac{l(l+1)}{r^2} \right] u_{nl}(r) = 0$$

Números mágicos del o.h.: 2, 8, 20, 40, 70

Números mágicos WS: 2, 8, 20, 40, 58

Números experimental: 2, 8, 20, 28, 50, 82



Credit: Fig. 3.5 of Ref. [22]

Woods-Saxon con spin-orbit

Hamiltoniano de partícula individual: Woods-Saxon con spin-orbit

$$h(\mathbf{r}) = -\frac{\hbar^2}{2m}\nabla^2 + V(r) + V_{so}(r) \mathbf{l} \cdot \mathbf{s}$$

$$\nabla^2 = \nabla_r^2 - \frac{\mathbf{l}^2/\hbar^2}{r^2} \quad \nabla_r^2 = \frac{1}{r^2} \frac{d}{dr} \left(r^2 \frac{d}{dr} \right)$$

$$h(\mathbf{r}) \psi_{nljm}(\mathbf{r}) = \varepsilon \psi_{nljm}(\mathbf{r})$$

$$\psi_{nljm}(\mathbf{r}) = f_{nlj}(r) \mathcal{Y}_{ljm}(\hat{r})$$

$$\langle \mathbf{r} | \psi_{nljm} \rangle = \langle r | nlj \rangle \langle \hat{r} | lsjm \rangle$$

Hamiltoniano de partícula individual: Woods-Saxon con spin-orbit

$$h(\mathbf{r}) = -\frac{\hbar^2}{2m}\nabla^2 + V(r) + V_{so}(r)\mathbf{l} \cdot \mathbf{s} \quad \nabla^2 = \nabla_r^2 - \frac{l^2/\hbar^2}{r^2}$$
$$\mathbf{j} = \mathbf{l} + \mathbf{s}$$

$$h(\mathbf{r})\psi_{nljm}(\mathbf{r}) = \varepsilon\psi_{nljm}(\mathbf{r})$$

$$\langle \mathbf{r} | \psi_{nljm} \rangle = \langle r | nlj \rangle \langle \hat{r} | lsjm \rangle$$

$$\mathbf{j}^2 | lsjm \rangle = j(j+1) | lsjm \rangle$$

$$j_z | lsjm \rangle = m | lsjm \rangle$$

$$l^2 | lsjm \rangle = l(l+1) | lsjm \rangle$$

$$s^2 | lsjm \rangle = \frac{3}{4} | lsjm \rangle$$

Hamiltoniano de partícula individual: Woods-Saxon con spin-orbit

$$h(r)u_{nlj}(r) = \varepsilon_{nlj} u_{nlj}(r)$$

$$j = l + s$$

$$\varepsilon_{nlj}$$

$$0s_{1/2}, 0p_{3/2}, 0p_{1/2}, 0d_{5/2}, 0d_{3/2}, 1s_{1/2}, \dots$$

$$j^2 |lsjm\rangle = j(j+1) |lsjm\rangle$$

$$j_z |lsjm\rangle = m |lsjm\rangle$$

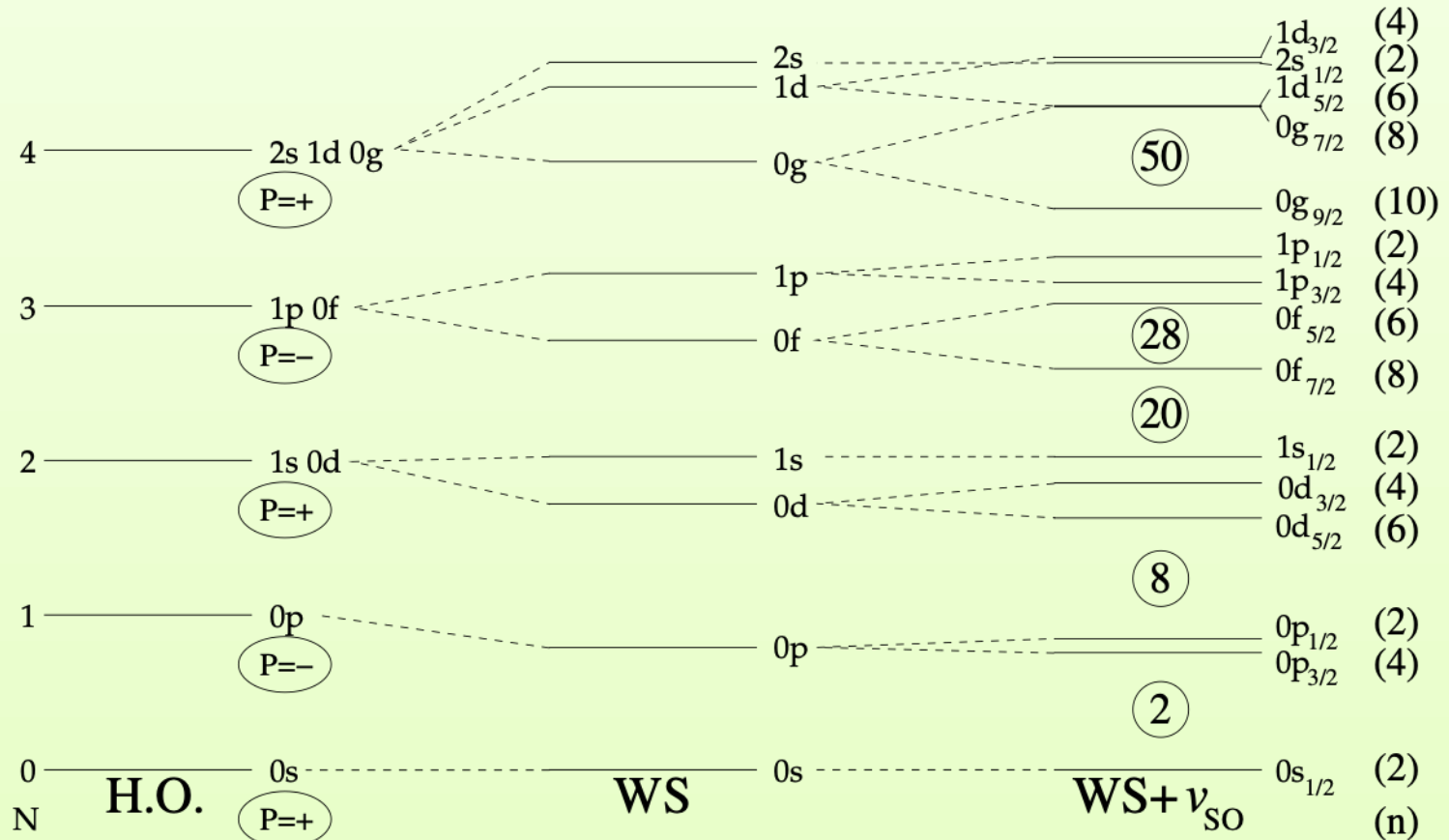
$$l^2 |lsjm\rangle = l(l+1) |lsjm\rangle$$

$$s^2 |lsjm\rangle = \frac{3}{4} |lsjm\rangle$$

$$\frac{\hbar^2}{2m} \frac{d^2}{dr^2} u_{nlj}(r) + \left[\varepsilon_{nlj} - V(r) - \zeta_{l,j} V_{so}(r) - \frac{\hbar^2}{2m} \frac{l(l+1)}{r^2} \right] u_{nlj}(r) = 0$$

$$\zeta_{l,j=l+1/2} = l \quad \zeta_{l,j=l-1/2} = -(l+1)$$

Hamiltoniano de partícula individual: Woods-Saxon con spin-orbit



Credit: Fig. 3.5 of Ref. [22]

Números mágicos del o.h.: **2, 8, 20, 40, 70**

Números mágicos WS. : **2, 8, 20, 40, 58**

Números WS+so. : **2, 8, 20, 28, 50, 82, 126**

Números experimental. : **2, 8, 20, 28, 50, 82, 126**

Modelo de partícula independiente

Modelo de partícula independiente

$$H = \sum_{i=1}^A \left[\frac{-\hbar^2}{2m_i} \right] \nabla_{r_i}^2 + \sum_{i < j=1}^A v(r_i, r_j) = H_0 + V$$

$$H = H_0 + V$$

$$H_0 = \sum_i^A h(r_i)$$

$$h(r) \psi_\alpha(r) = \varepsilon_\alpha \psi_\alpha(r)$$

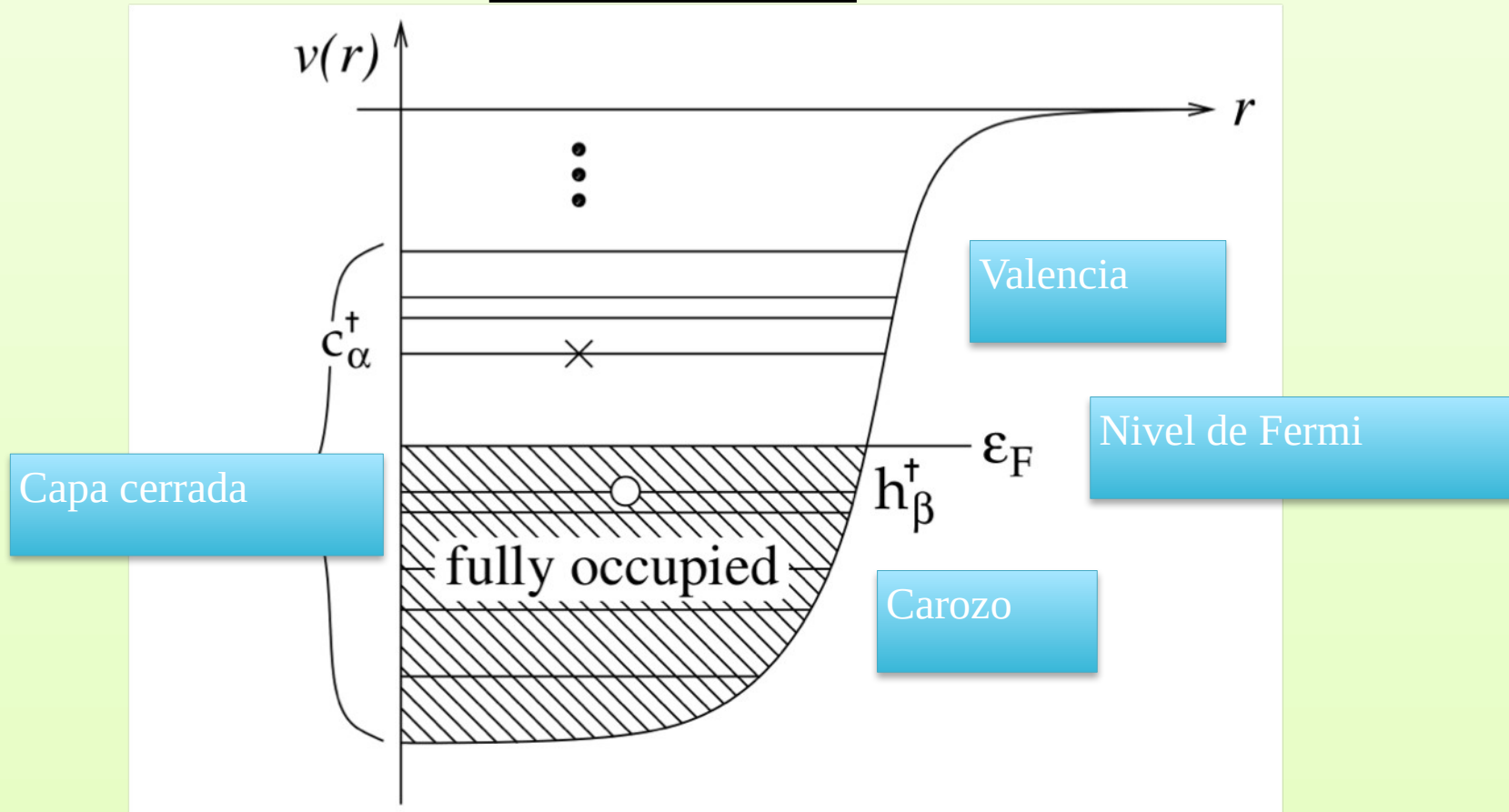
$$\Psi_0(r_1, \dots, r_A) = \psi_{\alpha_1}(r_1) \cdots \psi_{\alpha_A}(r_A)$$

$$E_0 = \sum_{i=1}^A \varepsilon_{\alpha_i}$$

$$H_0 \Psi_0 = E_0 \Psi_0$$

Definición de carozo y valencia

Definiciones

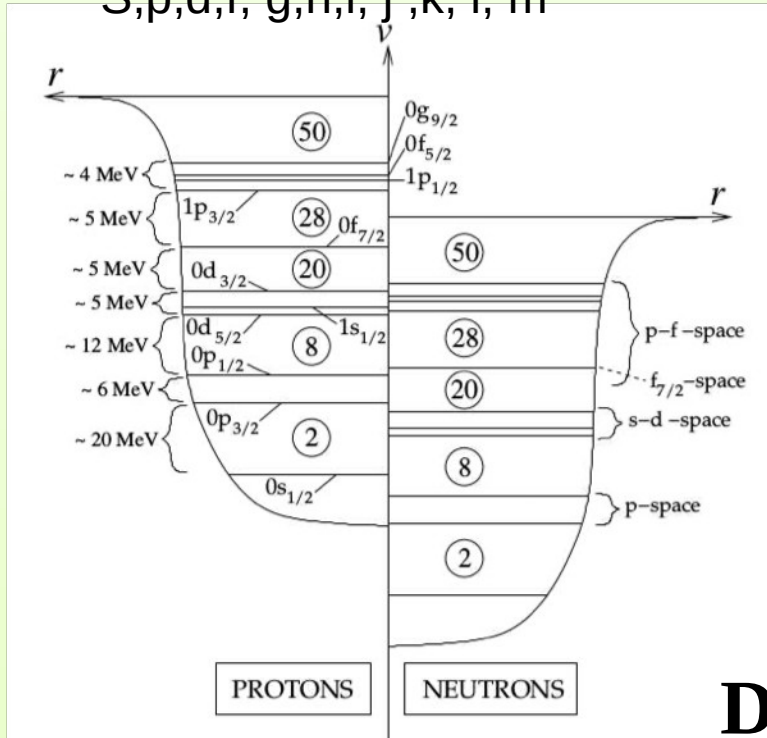


Crédito: Fig. 4.1 J. Suhonen. From Nucleons to Nucleus 2007

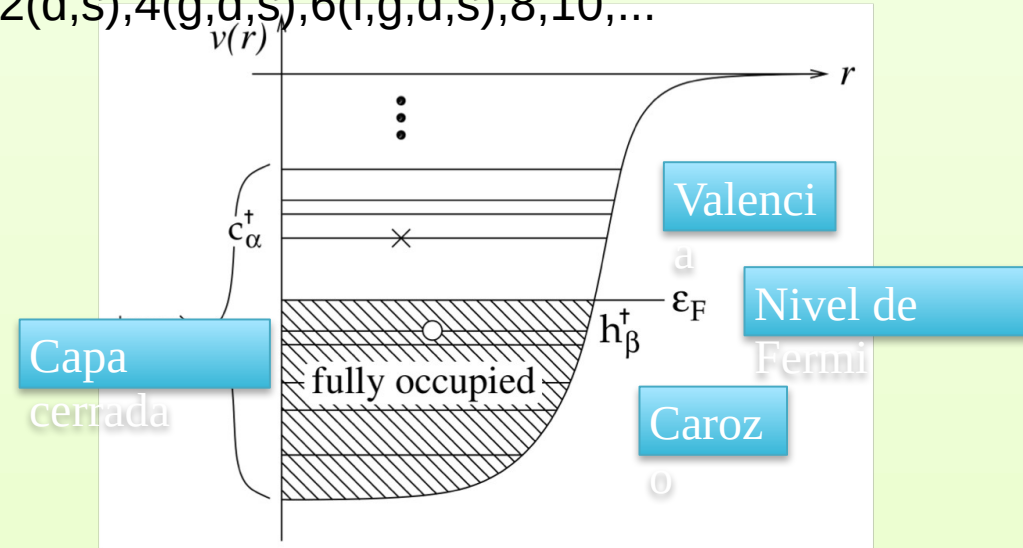
Definición de Núcleos Mágicos

$L=0, 1, 2, 3, 4, 5, 6, 7, 8$

S, p, d, f, g, h, i, j, k, l, m



$L=0(s), 2(d,s), 4(g,d,s), 6(i,g,d,s), 8, 10, \dots$



Crédito: Fig. 4.1 J. Suhonen. From Nucleons to Nucleus 2007

Definiciones

Crédito: Fig. 3.3 J. Suhonen. From Nucleons to Nucleus 2007

Núcleos semi-mágicos

$Z=2, 8, 20, 28, 50, 82$ ${}^{18}_6\text{O}_8$ ${}^{210}_{82}\text{Pb}_{128}$

Núcleos mágicos o Doblemente mágicos

$Z=2, 8, 20, 28, 50, 82$

$N=2, 8, 20, 28, 50, 82, 126, 184$

${}^4_2\text{He}_2$ ${}^{16}_6\text{O}_6$
 ${}^{40}_{20}\text{Ca}_{20}$ ${}^{208}_{82}\text{Pb}_{126}$

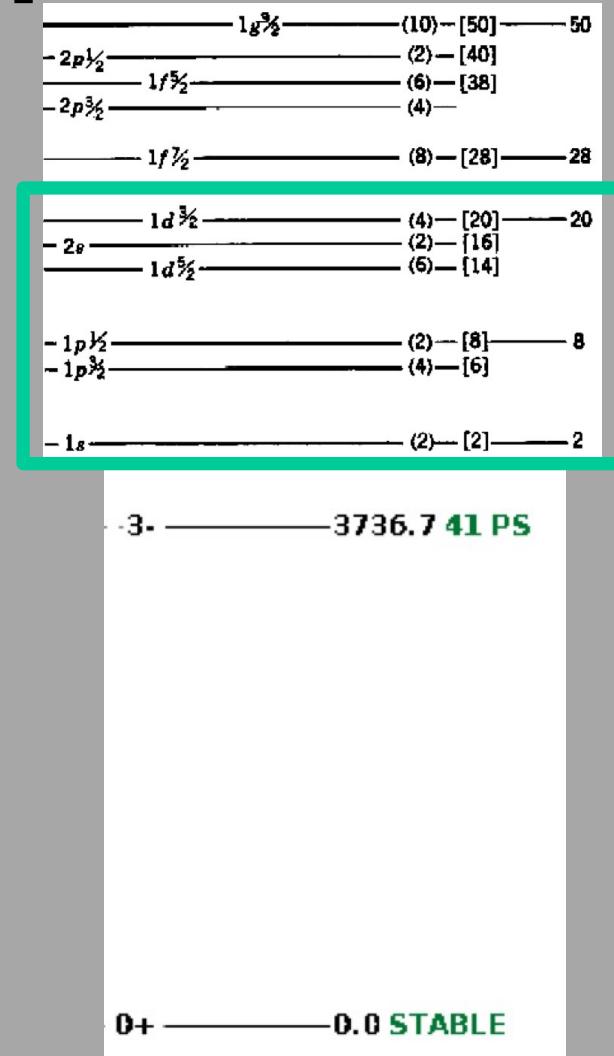
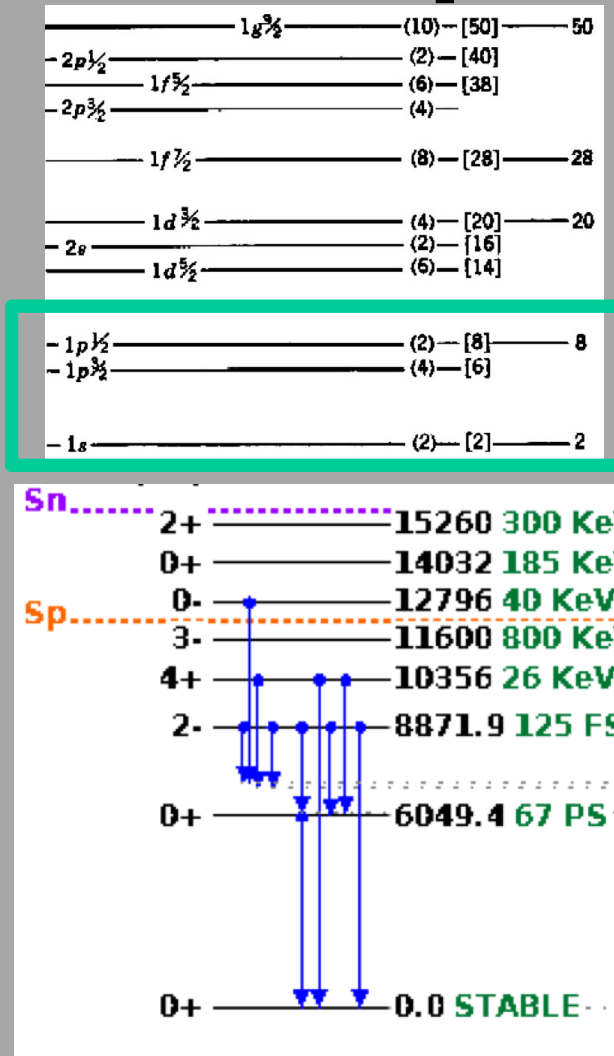
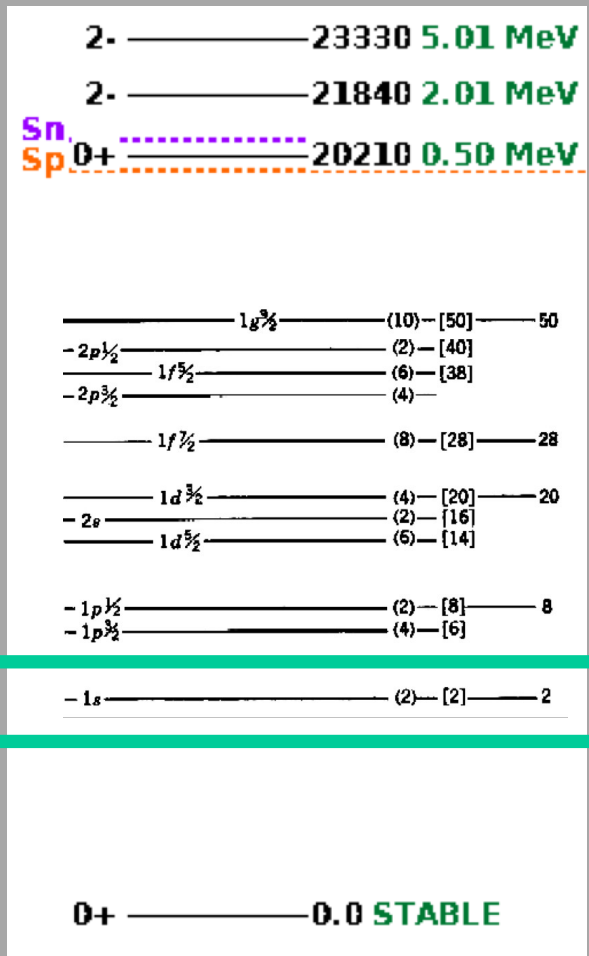
Núcleos semi-mágicos

$N=2, 8, 20, 28, 50, 82, 126, 184$

${}^{210}_{84}\text{Po}_{126}$
 ${}^{18}_{10}\text{Ne}_8$

Modelo de capa para capas cerradas

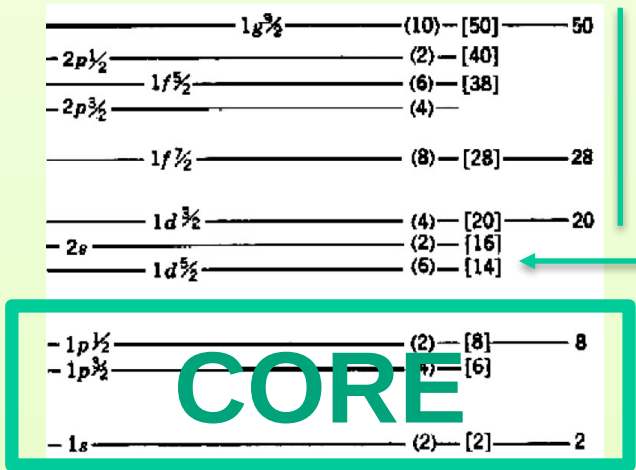
Estado fundamental 0+ de núcleos par-par



Modelo de capa para un neutrón de valencia

Números cuánticos versus estados experimentales

Modelo: $\square {}_9^{17}O_8 \dot{\iota} {}_8^{16}O_8 + n$



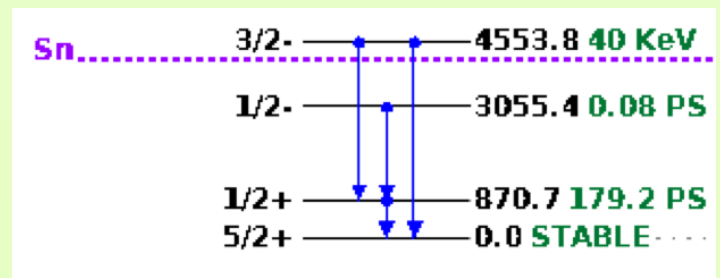
Estados excitados

Estado fundamental

5/2⁺ $\dot{\iota}$

0⁺ $\dot{\iota}\dot{\iota}$

$$II = \dot{\iota}$$



Experimento



Energía del Estado Fundamental: neutrón de valencia

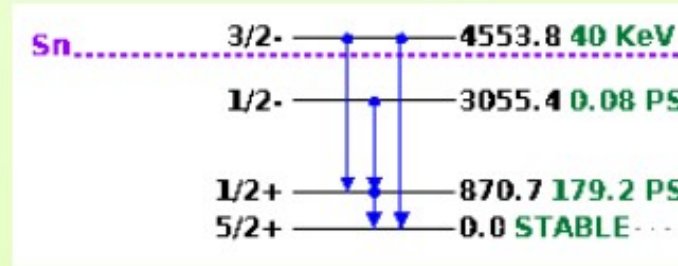
$$S_n(^{17}\text{O}_9) = B(Z = 8, N = 9) - B(Z = 8, N - 1 = 8)$$

$$S_n = 4.143 \text{ MeV}$$

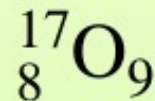
Modelo: ${}^9_8\text{O}_8 = {}^{16}_8\text{O}_8 + n$

CORE : ${}^{16}_8\text{O}_8$

VALENCE : n



Un neutrón en un núcleo mágico



$$\epsilon_{gs}(^{17}\text{O}) = -S_n(^{17}\text{O})$$

$$\epsilon_{gs}(^{17}\text{O}) = \epsilon_{d_{5/2}} = -4.143 \text{ MeV}$$

$$\epsilon_{s_{1/2}} = (-4.143 + 0.871) \text{ MeV}$$

PARIDAD

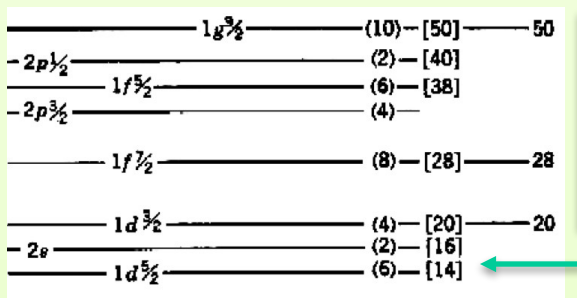
$$\Pi = (-)^l$$

Exp.	S.M.	l	π
5/2 ⁺	$d_{5/2}$	2	+
1/2 ⁺	$s_{1/2}$	0	+

Modelo de capa para un protón de valencia

Números cuánticos versus estados experimentales

Modelo: $\square_9^{17}F_8 \dot{\iota}_8^{16}O_8 + p$



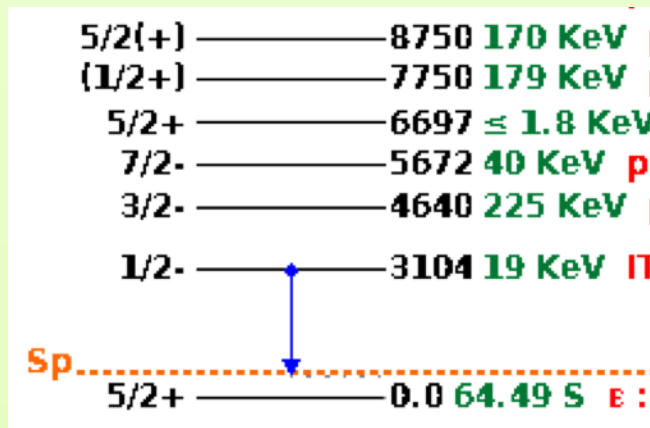
← Estados excitados

← 5/2⁺ $\dot{\iota}$ Estado fundamental

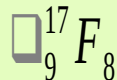


0⁺ $\dot{\iota}\dot{\iota}$

$\Pi = \dot{\iota}$



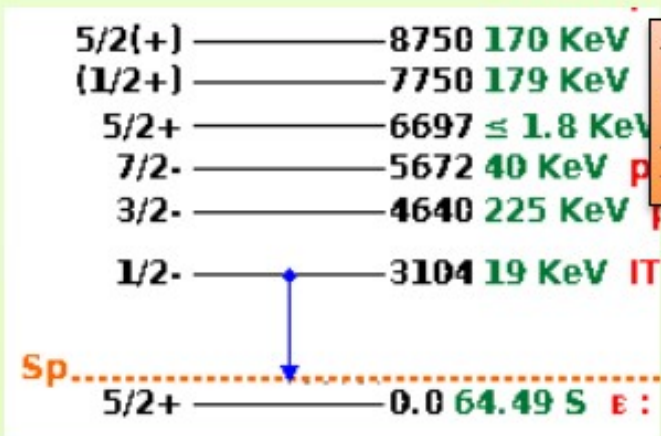
Experimento



Energía del Estado Fundamental: protón de valencia

$$S_p(^{17}\text{F}_8) = B(Z = 9, N = 8) - B(Z - 1 = 8, N = 8)$$

$$S_p = 0.600 \text{ MeV}$$



Un protón en un núcleo mágico

CORE : $^{16}\text{O}_8$

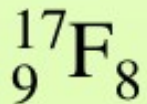
VALENCE : p

<

$$\epsilon_{gs}(^{17}\text{F}) = -S_p(^{17}\text{F})$$

$$\epsilon_{gs}(^{17}\text{F}) = \epsilon_{d_{5/2}} = -0.600 \text{ MeV}$$

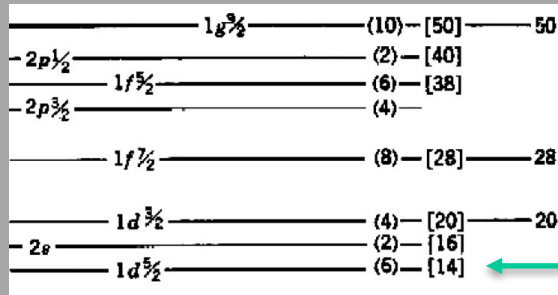
$$\epsilon_{s_{1/2}} = (-0.600 + 7.750) \text{ MeV!!!!}$$



Modelo de capa para un neutrón y un protón de valencia

Estado de núcleos impar-impar

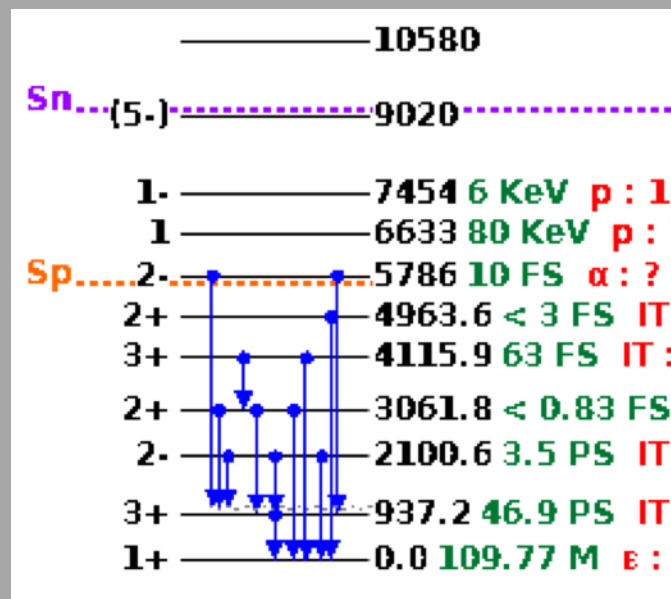
Modelo: ${}_{9}^{18}\text{F}_9 \text{ } i_8^{16}\text{O}_8 + p+n$



$$5/2^+ i(p) + 5/2^{+i}(n) \rightarrow J = 0, 1, \dots, 6 i i$$

0^{++}

$$II = i i$$



Experimento



Fin